

Navigation dans un environnement 3D

Marc BEYSECKER, Tom GIMENEZ, Valentin HIRSON, Léo RIZZON

Professeur encadrant : Mr Frédéric Koriche

Université Montpellier II

Master 1 Informatique

Table des matières

| | | |
|----------|---|-----------|
| 1 | Introduction | 3 |
| 2 | Recherches préliminaires | 4 |
| 2.1 | Une scène en 3D avec Blender | 4 |
| 2.1.1 | Le maillage | 4 |
| 2.1.2 | Les différents formats de fichier | 5 |
| 2.2 | Récupérer notre scène en 3D | 6 |
| 2.2.1 | OpenSceneGraph | 6 |
| 2.2.2 | OpenGL avec nos propres structures de données | 6 |
| 2.3 | Test de validité des points : Bounding Box | 7 |
| 3 | Implémentation finale | 8 |
| 3.1 | Principe général | 8 |
| 3.2 | Nos structures de données | 8 |
| 3.2.1 | La scène | 9 |
| 3.2.2 | Le graphe généré | 9 |
| 3.3 | Un parser pour récupérer notre scène | 9 |
| 3.4 | Génération du graphe correspondant au sol | 9 |
| 3.5 | Travaux effectués sur le graphe | 10 |
| 3.5.1 | Création du graphe des way-points | 10 |
| 3.5.2 | Simplification du graphe des way-points : merging | 13 |
| 4 | Résultats | 15 |
| 4.1 | Interface graphique | 15 |
| 4.2 | Application de l'heuristique | 15 |
| 4.3 | Merging | 16 |
| 4.4 | Déplacement d'un agent | 16 |
| 5 | Bibliographie - Webographie | 19 |
| 6 | Conclusion | 21 |

Remerciements

Nous tenons à remercier M. Frédéric Koriche, notre tuteur de projet, pour nous avoir encadré et nous avoir éclairé lorsque nous étions perdu dans les méandres (ou abysse) du code.

Chapitre 1

Introduction

Contexte

Dans les jeux vidéos, les personnages non joués par des humains doivent pouvoir se déplacer de manière autonome et cohérente. Un environnement 3D est constitué d'un graphe énorme avec des milliers de sommets. Même en ne prenant que le sol, le graphe est encore très gros et, surtout, n'est pas seulement constitué des points navigables. C'est à dire que le personnage ne doit pas pouvoir se déplacer dessus.

Comme nous l'avons étudié, la recherche de chemins dans un graphe est un problème classique mais qui peut s'avérer très lourd sur de gros graphes. En prenant en compte que les jeux mettent en scène un grand nombre d'agents il s'agit de minimiser les temps de calculs.

Il s'agit donc d'une part de ne sélectionner que les points navigables et de simplifier le graphe obtenu pour limiter les espaces de calculs. De ces opérations naît le graphe de way-points. Il s'agit donc du graphe sur lequel vont se déplacer les agents.

Dans la plupart des jeux actuels les environnements sont créés "à la main" par les créateurs du jeu et les game designers placent eux même les points du graphe des way-points. Cela représente un gros travail et c'est même impossible dans le cas d'environnements aléatoirement générés.

Dans le cadre de notre unité d'enseignement intitulée Algorithmes de l'Intelligence Artificielle, nous avons réalisé un projet qui consiste en l'implémentation d'un algorithme de génération automatique du graphe des way-points.

Objectifs

La base de notre travail est une scène 3D créée à l'aide d'un logiciel d'éditions d'objets 3D, par exemple Blender. Il s'agit alors de charger cette scène pour y appliquer nos traitements. Tout d'abord, il faut générer le graphe à partir de tous les points composant les différentes formes pour représenter les arêtes. Ensuite il faut épurer ce graphe pour ne garder que les sommets et les arêtes "empruntables". Enfin on va chercher à appliquer un algorithme de simplification pour ne garder que les points réellement utiles. C'est une procédure appelée merging.

Le résultat serait donc un graphe des way-points, simplifié, automatiquement généré.

Chapitre 2

Recherches préliminaires

2.1 Une scène en 3D avec Blender

Blender est un logiciel d'édition d'objets 3D libre sous licence GPL. Bien que nous ayons eu la possibilité d'utiliser des logiciels payant très évolués, nous avons fait le choix, approuvé par notre professeur encadrant, d'utiliser Blender. Blender est multi-platerformes et c'est cet aspect qui nous a décidé car nous travaillons tous sous Linux. Bien que gratuit, il offre largement toutes les fonctionnalités dont avions besoin.

2.1.1 Le maillage

Pour simuler le travail sur un terrain assimilable à un environnement 3D de jeux vidéo, il nous fallait un graphe avec beaucoup de points. L'objectif était de passer

INSERER IMAGES CARRE SIMPLE PUIS MAILLAGE

Créer une scène simple sous Blender a été plutôt facile. Pourtant nous avons eu plus de mal à obtenir un maillage. Nous avons alors exploré plusieurs possibilités.

Une map Half-Life Au départ, nous avions dans l'idée de partir d'une map Half-Life. Dans un premier temps nous générions la map avec un générateur de terrain : Gensurf. Ensuite nous l'importions et l'éditions avec l'éditeur de map officiel WorldCraft. Nous arrivions donc à générer une scène rapidement et plus facilement qu'avec Blender. Malheureusement l'éditeur de map WorldCraft ne permet pas d'exporter directement en .obj , après quelques recherches, nous avons contourné le problème en utilisant Object Viewer qui permet de transformer un .map en .obj.

Au final, nous n'avons pas retenue cette solution car le .obj obtenu n'était pas aussi "propre" que celui obtenu par Blender. De plus la scène avait une épaisseur, ce qui ne nous plaisait pas.

La solution avec Blender Pour fabriquer notre sol nous avons longtemps cherché un modèle pré-conçu mais cela s'avéra infructueux. Nous avons alors découvert qu'il était possible de diviser une forme de base. Nous avons décidé de prendre un simple carré, de l'agrandir à la taille souhaitée et de le diviser en autant de petites cases que nécessaires. Cela nous a donc donné notre maillage sur lequel poser nos formes. Nous avons posé des pavés sur notre sol car se sont les formes que prennent les bounding

box. Une bounding box est la forme simplifiée que prend un modèle 3D ; cela permet de simplifier les calculs d'intersection entre la forme et son environnement.

2.1.2 Les différents formats de fichier

Une fois la scène créée sous Blender le logiciel nous proposait différents format d'exportation. Il y en a un grand nombre et nous en avons étudié principalement deux.

COLLADA Collaborative Design Activity (abrégié en COLLADA, signifiant activité de conception collaborative) a pour but d'établir un format de fichier d'échange pour les applications 3D interactives.

COLLADA définit un standard de schéma XML ouvert pour échanger les acquisitions numériques entre différents types d'applications logicielles graphiques qui pourraient autrement conserver leur acquisition dans des formats incompatibles. Les documents COLLADA, qui décrivent des acquisitions numériques, sont des fichiers XML, habituellement identifiés par leur extension .dae («digital asset exchange», traduit par «échange numérique d'acquisition»). C'est un format supportant la vaste majorité des fonctionnalités modernes requises par les développeurs de jeux vidéo.

Il fallait donc faire un choix, COLLADA étant plus conséquent que .obj, et le sujet de notre TER n'étant pas porté sur le format de notre scène, nous avons donc choisi de faire simple et de choisir .obj. De plus le format XML nous obligeait à utiliser des bibliothèques dédiées, complexes et non standardisées, qui nous aurait pris beaucoup plus de temps pour écrire le parser.

WaveFront OBJ est un format de fichier contenant la description d'une géométrie 3D. Il a été défini par la société Wavefront Technologies. Ce format de fichier est ouvert et a été adopté par d'autres logiciels 3D (tels que Maya, 3D Studio Max, Lightwave et bien sur Blender) pour des traitements d'import / export de données.

Dans un fichier Wavefront (extension .obj), les formes sont stockées les unes après les autres. Les différentes entités sont écrites par bloc. Donc, pour chaque forme les informations qui la concerne sont stockées ligne par ligne. Nous savons à quoi chaque information correspond grâce à la lettre clef qui débute la ligne (par exemple : "v" pour un vertex). Les seuls informations qui nous intéressent sont les vertex et les faces. Une ligne pour un vertex fournit la position de ce vertex (x, y, z) écrit comme suit "v x y z" par exemple "v 2.0 2.0 3.0" pour un vertex de coordonnées (2.0, 2.0, 3.0) Une ligne pour une face fournit le numéro des vertex qui la composent écrit comme suit "f num₁ ... num_n" par exemple "f 4 6 7 8 11 13" pour une face constituée des vetices numéros 4, 6, 7, 8 et 11. Le numéro d'un vertex n'est pas explicitement donné mais il se déduit par son ordre d'apparition dans le fichier Wavefront. C'est un identifiant unique.

Voici un exemple de code dans un fichier .obj.

Ici il s'agit d'un simple carré. Une forme commence par la liste des points qui la constitue puis la liste de ses faces.

```
v 0 0 0 //premier point de la nouvelle forme
```

```

v 0 0 1
v 1 0 1
v 1 0 0
f 1 2 3 4 //première face constituée des points 1 2 3 4
v ... //un v après un f on est donc sur une nouvelle forme

```

Nous avons donc choisi ce format de fichier pour stocker notre scène 3D car il nous a été très facile de développer le parser adéquat. Les informations fournies sont justes celles dont nous avons besoin. On peut noter toutefois qu'il est possible d'exporter également des données sur les textures et les normales mais nous n'utilisons pas ces fonctionnalités.

2.2 Récupérer notre scène en 3D

Une fois notre scène créée sous Blender s'est posé le problème de l'exploiter. Nous avons alors cherché du côté des librairies existantes, en C/C++ surtout. En effet, Blender nous proposait divers format de fichier de sortie. Nous devons faire en sorte que les informations soient récupérables et exploitable pour nos algorithmes. L'idée générale est d'utiliser un parser qui va lire les données du fichier pour les transformer en données compréhensibles par notre programme.

Voici les solutions que nous avons envisagées.

2.2.1 OpenSceneGraph

2.2.2 OpenGL avec nos propres structures de données

Une fois l'expérience OpenSceneGraph terminée et mise de côté, nous avons dû de nouveau chercher une solution. Après de longues recherches, nous avons trouvé quelques possibilités comme OGRE (Object-Oriented Graphics Rendering Engine), nous avons finalement décidé de créer nous même ce dont nous avons besoin. C'est la solution finale.

L'utilisation d'OpenGL (Open Graphics Library), conseillée par notre professeur encadrant, était un choix établi. C'est une spécification qui définit une API multi-plateforme pour la conception d'applications générant des images 3D (mais également 2D). Bien connue pour son ouverture, sa souplesse d'utilisation, sa stabilité et sa disponibilité sur toutes les plates-formes, OpenGL est de plus le sujet de nombreux tutoriaux. Elle est utilisée dans certains jeux-vidéo

OpenGL nous a permis d'afficher notre graphe en 3D avec les points, les arêtes, les formes. Grâce à la gestion des vertices nous avons pu avoir un rendu des formes, utiliser la coloration des objets et créer un élément mobile représentant un agent. La caméra, bien gérée par cette librairie, a permis un gain de précision et liberté d'observation dans notre affichage.

Enfin OpenGL est au programme de l'année prochaine : il est toujours intéressant de prendre un peu d'avance.

Au niveau du langage de programmation, coder en C++, pour la performance du programme, pour l'aspect objet intéressant dans notre contexte, pour l'utilisation d'OpenGL, était presque évident.

Finalement nous avons donc implémenté notre propre parser pour remplir nos propres structures de données. En fait, on a recodé une partie des fonctionnalités des bibliothèques que nous avons étudiées pour n'en garder que ce dont nous avons besoin et pour avoir des structures que nous maîtrisons pleinement. Au final, cela nous a fait gagné du temps.

2.3 Test de validité des points : Bounding Box

Pour tester si un point est valide nous avons dû réfléchir à quelle méthode utiliser. Notre professeur encadrant nous avait parlé de Bounding Box.

Les Bounding Box sont des objets invisibles générés à partir d'autres objets. Chaque Bounding Box est un cube (ou un prisme à base rectangulaire) et contient une forme. Elle représente l'objet représenté de manière simplifiée. Cela permet de réduire la complexité de différents calculs, tels que les collisions entre deux formes lors de recherche de chemins.

Dans notre cas elles sont utiles pour détecter les sommets invalides du graphe des way-points. On a commencé par faire abstraction de la hauteur, car lorsqu'on parcourt le graphe on ne sait pas quelles sont les caractéristiques des formes qui vont se déplacer. On ne connaît ni la nature du sol (eau, terre, lave, etc...) ni les attributs de la forme ou de l'agent (taille, largeur, capacité à voler ou nager...). Comme il nous manque des éléments sur la hauteur pour affiner opérations sur le graphe en fonction de qui parcourt ce graphe, on décide que, peu importe la hauteur (axe Y) d'un objet, on ne peut pas circuler sur l'espace où est projeté une forme sur le graphe.

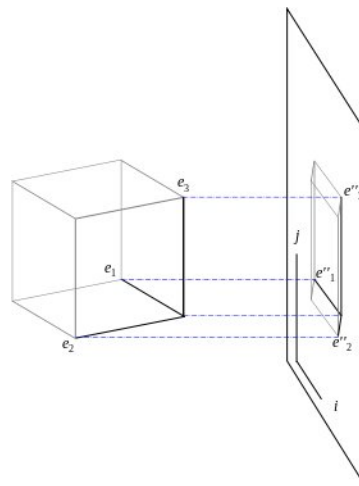


FIGURE 2.1 – Exemple de projection orthogonale d'un carré sur un plan 2D

De là on a besoin de seulement quatre points pour représenter notre Bounding Box. On utilise des vertex, comme cela, si on veut étendre notre modèle à des Bounding Box en trois dimensions il suffit de rajouter quatre autres vertex.

Chapitre 3

Implémentation finale

Nous présenterons ici les éléments que nous avons effectivement implémentés.

3.1 Principe général

Voici le principe général de notre programme. Ci-après les différentes étapes successives en considérant que l'on part d'une scène 3D en format WaveFront.

- Parser le fichier .obj de la scène 3D
- Isoler le sol des autres formes
- Générer le graphe correspondant au sol
- Détecter les sommets invalides et les retirer du graphe
- Simplifier le graphe (merging)

3.2 Nos structures de données

Nous présenterons ici nos structures de données, utilisées dans notre projet. Comme dit précédemment, nous avons exploité le potentiel objet du C++.

- Forme :
Une *forme* est une figure géométrique qui contient une liste de vertex et une liste de faces. À partir d'une forme, nous pouvons générer un graphe qui lui correspond.
- Vertex :
Un *vertex* est un point de notre scène. Il possède 3 coordonnées x, y et z. Il contient également une liste de pointeurs sur les vertices qui sont ses voisins.
- Faces :
Les *faces* possèdent une liste contenant les numéros des vertex qui les composent. C'est grâce aux faces que nous pouvons déduire les voisins des sommets du graphe. Elles servent aussi à effectuer un affichage cohérent des formes.
- Bounding Box :
Les *Bounding Box* possèdent 4 vertices qui correspondent aux points de la projection en 2D de la Bounding Box sur le sol. La classe possède un constructeur qui prend une forme en paramètre, on y calcule une la bounding box d'une forme quelconque.

3.2.1 La scène

Reprécisons bien comment sont stockées les données.

Notre scène, c'est à dire l'ensemble de tous les vertices et de toutes les formes, est stockée dans une liste de formes. On a donc, comme expliqué plus haut, une scène complète séparée en différentes formes : par exemple une forme qui correspond à tout le sol, une à un cube etc.

C'est pourquoi nous avons une méthode qui permet d'identifier quelle forme est le sol. Dans notre cas, nous avons pu faire très simple et la forme correspondant au sol est celle qui possède le plus de points.

3.2.2 Le graphe généré

Pour stocker notre graphe dont la création est expliquée plus loin, nous avons fait le choix de rajouter à notre classe Vertex une liste d'adjacence contenant des pointeurs vers les voisins de ce sommet. C'est donc une méthode d'implémentation classique où chaque sommet connaît ses voisins. Encore une fois, comme le point principal du projet n'est pas là, nous avons choisi de faire au plus simple.

Grâce à cette liste de voisins (ou d'adjacences), les parcours dans le graphe sont possibles (cette liste représente les arêtes du graphe). Nous avons choisi les listes de voisins car chaque sommet possède au plus 4 voisins si le maillage est fait de carrés ou 3 voisins s'il est fait de triangles. Ce qui permet un coût de stockage très faible et un temps de calcul bien maîtrisé.

Prenons l'exemple de la suppression d'un voisin :

Il suffit de l'isoler pour qu'il ne soit plus parcouru ; soit le supprimer de la liste de voisins de tous ses voisins. Au pire des cas : 4 x 4 tests.

Cette liste d'adjacence est donc remplie à l'appel de la méthode de génération du graphe.

3.3 Un parser pour récupérer notre scène

Nous récupérons donc un fichier au format WaveFront. Il s'agit de remplir nos structures de données, un vecteur de forme que nous appellerons ici *listeDeFormes*. Nous avons présenté précédemment la structure d'un fichier au format WaveFront. Ici nous présenterons le fonctionnement de notre parser.

3.4 Génération du graphe correspondant au sol

Pour effectuer les traitements prévus nous avons donc décidé de travailler sur un graphe. Nous partons d'un ensemble de points et de faces dans des formes séparées. Nous sélectionnons la forme correspondant au sol avec notre méthode dédiée. Ensuite, sur cette forme nous appliquons une méthode qui va créer les liaisons entre sommets en fonction des faces de la forme.

Pour chaque face on lie ses vertices de manière à ce que chaque sommet prenne comme voisins son prédécesseur et son successeur dans leur ordre d'apparition de la liste des points de la face.

Algorithm 1 Parser de fichier .obj

Require: fichier .obj

```
1: for chaque forme (c'est à dire une apparition de "v" après une série de "f") do
2:   if la ligne commence par un "v" then
3:     enregistrer "v x y z" comme nouveau vertex de coordonnées (x,y,z) dans le
       vecteur de vertex de la forme courante
4:   else
5:     if la ligne commence par un "f" then
6:       enregistrer "f  $x_1 \dots x_n$ " comme nouvelle face dans le vecteur de faces de la
       forme courante
7:     end if
8:   end if
9: end for
```

Notre sol n'est composé que de carrés et chaque face possède une liste de 4 sommets A,B,C,D.

voisins(A) = B,D ; voisins(B) = A,C ; voisins(C) = B,D ; voisins(D) = A,C

3.5 Travaux effectués sur le graphe

Notre scène est donc récupérée dans notre programme. Nous avons de plus généré le graphe du sol. Il nous faut maintenant y appliquer nos traitements.

3.5.1 Création du graphe des way-points

Dans un premier temps, à partir de tous les points du graphe, nous allons chercher à supprimer tous les point sur lesquels un agent ne doit pas pouvoir se déplacer. Nous obtiendrons ainsi le graphe des way-points, ensemble des points navigables.

Parcours

Voici notre méthode de parcours, en profondeur.

Algorithm 2 Parcours du graphe complet : parcourir(sommet)

Algorithme lancé à partir d'un sommet non isolé

```
1: if sommet courant non marqué then
2:   marquer le sommet courant
3:   for chaque voisin v do
4:     parcourir(v)
5:   end for
6: end if
```

Heuristique

Notre heuristique, qui va déterminer si un point est navigable ou pas va se baser sur les bounding box. Une bounding box est la plus petite boîte englobant l'ensemble des points d'une forme. Générer une bounding box pouvant être un travail compliqué, nous avons choisi de dire que notre bounding box était constitué de quatre points (vertex). On calcule leurs coordonnées selon les valeurs minimales et maximales de tous les vertex d'une forme. On classe les quatre points afin de faciliter les calculs à venir.

On considère comme valide :

- un sommet s'il n'est pas contenu dans une bounding box.
- une arête, entre deux sommets, si elle ne coupe pas une bounding box

Une arête, entre deux sommets, est valide si elle ne coupe pas une bounding box. Il nous a donc fallu implémenter deux méthodes renvoyant un prédicat pour savoir quels points et quelles arêtes supprimer. Quand un point est non valide, on l'isole dans le graphe. On peut afficher tous les points, voir clairement les différences. Le parcours du graphe est quand à lui simplifié.

L'heuristique a été un pilier très important de ce projet et a été l'objet d'une réflexion assez poussée. Nous présenterons différentes méthodes qui ont été envisagées.

Méthode 1 Cette solution, souvent utilisée en informatique, consiste à déterminer si un point (x,y) est à l'intérieur ou à l'extérieur d'un polygone sur un plan 2D. Considérons un polygone, fait de n sommets (x_i,y_i) avec i de 0 à $n - 1$. Le dernier sommet (x_n,y_n) est le même que le premier sommet, pour que le polygone soit fermé. Pour déterminer le status d'un point (x_p,y_p) , on trace une droite horizontale partant de (x_p,y_p) . Si le nombre d'intersection de la droite avec chaque arête du polygone est impair alors le point est à l'intérieur du polygone, sinon il n'est pas dedans.

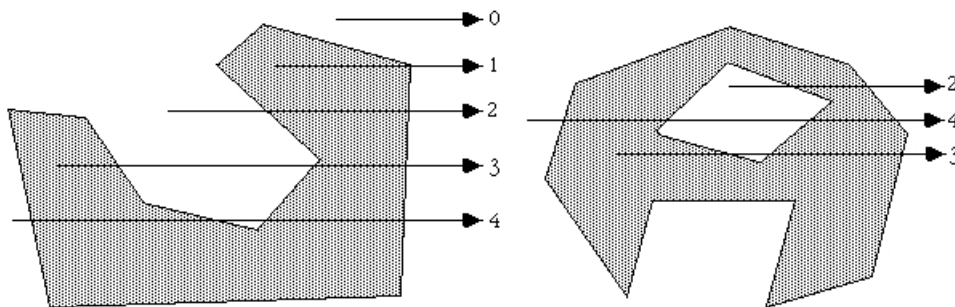


FIGURE 3.1 – Différents cas de figures avec nombre d'intersection paire et impaire

Le seul problème apparaît lorsqu'un sommet ou une arête du polygone est parallèle à la droite.

Les situations possibles sont illustrées en dessous :

Les lignes épaisses ne sont pas considérées comme valides, les lignes fines si. Il est bon de noter que cet algorithme marche avec des polygones troués, comme illustré sur le figure 3.1.

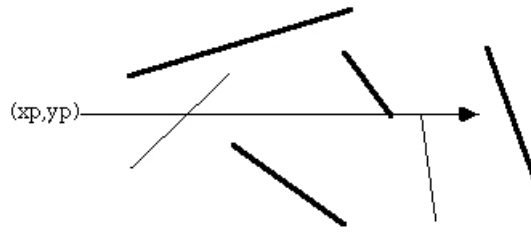


FIGURE 3.2 – Illustration des épaisseurs de ligne

DESSIN

Cette méthode est idéale pour les polygones non convexes mais comme nous utilisons des carrés, elle aurait été un peu lourde.

Méthode 2 Une autre solution, est de calculer la somme des angles fait entre le point test et chaque paires de points du polygone. Si la somme est égale à 2π alors le point est à l'intérieur, sinon le point est à l'extérieur. Cette méthode marche aussi avec les polygones troués. De même cette méthode est assez gourmande en calcul et n'a pas été retenue.

Méthode 3 : retenue La dernière solution que nous avons testé ne marche qu'avec les polygones convexes. Si un polygone est convexe alors on peut considérer ces arêtes comme un "chemin" partant du premier sommet pour y revenir. Un point est à l'intérieur du polygone si il est toujours du même côté que tous les arêtes constituant le "chemin".

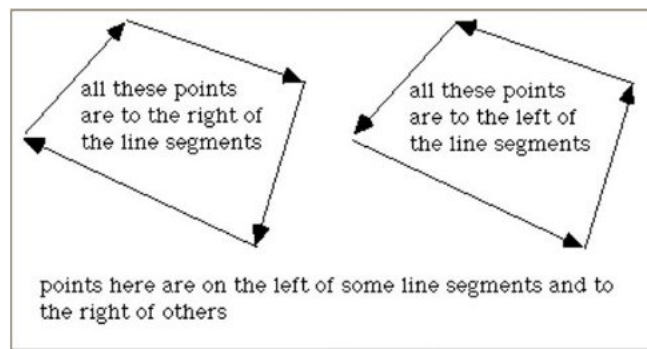


FIGURE 3.3 – Un chemin dans un carré

Soit un segment entre $P0(x_0, y_0)$, $P1(x_1, y_1)$ et un autre point $P(x, y)$ alors on a la relation suivante : $(y - y_0) \cdot (x_1 - x_0) - (x - x_0) \cdot (y_1 - y_0)$. Si le résultat est inférieur à 0 alors P est à droite du segment $[P0, P1]$, si il est égale à 0 alors il est sur la droite $(P0, P1)$ et s'il est supérieur à 0 alors il est à gauche du segment $[P0, P1]$.

A noter que cet algorithme ne marche pas avec les polygones troués.

Il nous suffit donc de faire 4 tests, on teste la position du point par rapport à chacune des arêtes constituant le polygone, si le point est toujours du même côté alors le point est à l'intérieur du polygone.

Nous avons choisi de retenir la solution 3 car c'est celle qui nous semblait marcher le mieux ainsi que la plus économe en ressources. Elle est parfaitement adaptée à notre projet.

Méthode de test d'intersection d'une arête avec une bounding box Pour tester si une arête coupe une bounding box nous avons décomposé le problème :

- dans un premier temps il nous fallait une méthode pour savoir si un segment est coupé par un autre.
- ensuite il suffit de tester si notre arête coupe chaque segment de la bounding box, notre bounding box étant un carré on a donc 4 tests à faire.

L'intersection d'un segment avec un autre peut être un problème extrêmement simple ou extrêmement compliqué, dépendant de l'application. Mais si l'on veut seulement le point d'intersection alors la méthode suivante marche :

Soit A,B,C,D des vecteurs. Alors on a les propriétés suivantes :

$$AB = A + r(B - A), r \in [0, 1]$$

$$CD = C + s(D - C), s \in [0, 1]$$

$$r = \frac{(A_y - C_y)(D_x - C_x) - (A_x - C_x)(D_y - C_y)}{(B_x - A_x)(D_y - C_y) - (B_y - A_y)(D_x - C_x)} \text{ (eqn1)}$$

$$s = \frac{(A_y - C_y)(B_x - A_x) - (A_x - C_x)(B_y - A_y)}{(B_x - A_x)(D_y - C_y) - (B_y - A_y)(D_x - C_x)} \text{ (eqn2)}$$

Après, le test est simple :

- Si $0 \leq r \leq 1 \wedge 0 \leq s \leq 1 \rightarrow$ intersection
- Si $r < 0 \vee r > 1 \vee s < 0 \vee s > 1 \rightarrow$ pas d'intersection

3.5.2 Simplification du graphe des way-points : merging

Pour limiter les calculs de recherche de chemins les graphes des way-points sont généralement simplifiés par l'application d'une technique qu'on appelle merging.

Nous n'avons pas eu le temps de développer un merging très évolué. Toutefois notre procédure de merging remplit son oeuvre en préservant la connexité du graphe. Il s'agit en fait d'isoler certains sommets dont l'entourage possède un grand nombre de voisins.

Algorithm 3 Merging du graphe : merging(sommet)

Algorithme lancé à partir d'un sommet non isolé

```

1: if sommet courant non marqué then
2:   dupliquer la liste des voisins
3:   if sommet courant a 4 voisins then
4:     if sommets voisins du sommet courant ont tous au moins 3 voisins then
5:       isolation du sommet courant
6:     end if
7:   end if
8:   for chaque voisin v sauvegardé do
9:     merging(v)
10:  end for
11: end if

```

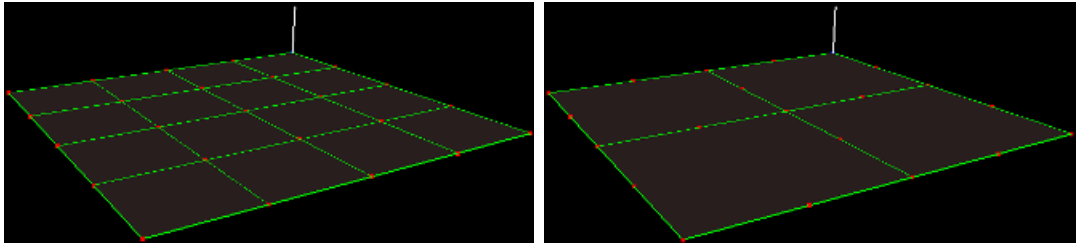


FIGURE 3.4 – Notre graphe avant et après merging

Chapitre 4

Résultats

Ce chapitre est dédié à la présentation du résultat final à travers quelques exemples. Nous parlerons également de l'interface graphique mise au point pour afficher la scène et pour y appliquer nos différents traitements.

4.1 Interface graphique

Nous avons utilisé le gestionnaire de fenêtres de la librairie SDL pour contenir notre scène affichée. Cette librairie nous permet de récupérer des différents événements, tels que les événements clavier, redimensionnement de la fenêtre. Nous n'avons pas eu de problèmes particuliers liés à son installation ou à son utilisation.

Pour le rendu graphique 3D nous nous sommes donc servi d'OpenGL. Le résultat est l'affichage de notre scène avec la possibilité de l'explorer en déplaçant la caméra. Nous avons implémenté la gestion de différents événements clavier liés à nos traitement sur le graphe dont voici la liste :

- d : détecter et enlever les points invalides avec suivi visuel (attention procédure longue)
- a : détecter et enlever les points invalides sans suivi visuel (procédure rapide)
- m : merging, simplification du graphe
- c : afficher/masquer les formes
- t : afficher/masquer le graphe
- touches directionnelles : déplacement de la caméra

4.2 Application de l'heuristique

Donc, en appuyant sur la touche “d” ou “a” nous pouvons masquer, ou plutôt isoler les sommets invalides. Voici un exemple (pour plus de lisibilité nous avons choisi de ne pas afficher les formes qui couvraient les points en question :

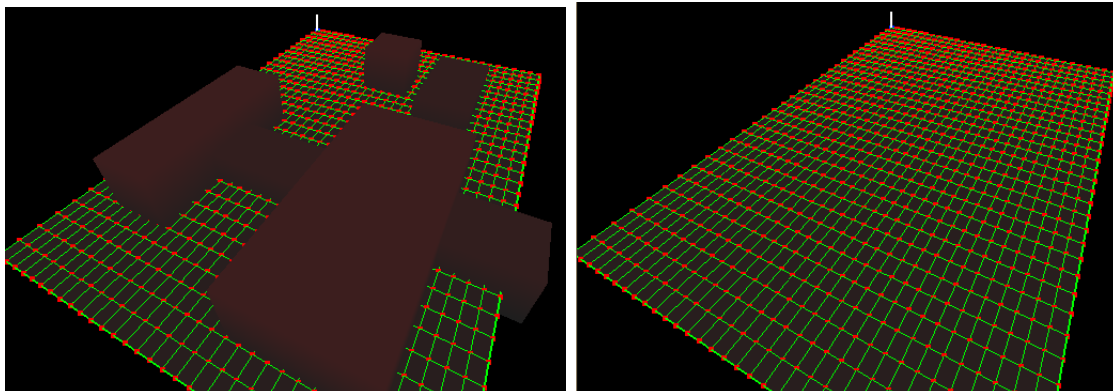


FIGURE 4.1 – Notre graphe avant application de l’heuristique, d’abord avec les formes affichées qui cachent les sommets en dessous puis avec les formes masquées

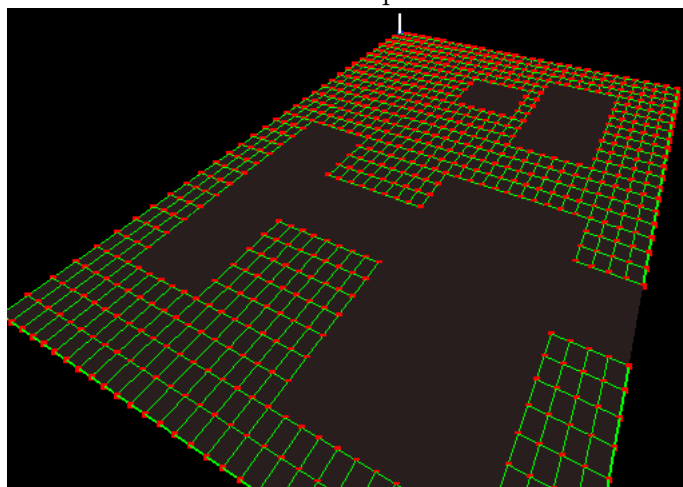


FIGURE 4.2 – Notre graphe après l’application de l’heuristique (formes non affichées)

4.3 Merging

Avec la touche “m” du clavier on peut lancer la procédure de merging. Voici les résultats obtenu sur l’exemple précédent. Notons que l’application de l’heuristique doit avoir lieu avant.

4.4 Déplacement d’un agent

Pour vérifier notre travail, pour une mise en condition “réelle” et pour un rendu encore plus sympathique, nous avons implémenté un agent qui va effectuer un parcours sur notre graphe. Il est modélisé par une ligne blanche.

Chaque sommet possède un poids, initialement nul, qui va augmenter de 1 à chaque passage de l’agent.

Pour bien voir le chemin parcouru, nous colorons les sommets parcourus en bleu avec une proportionnalité en fonction du poids. Plus le poids est élevé, plus le sommet s’éclairci.

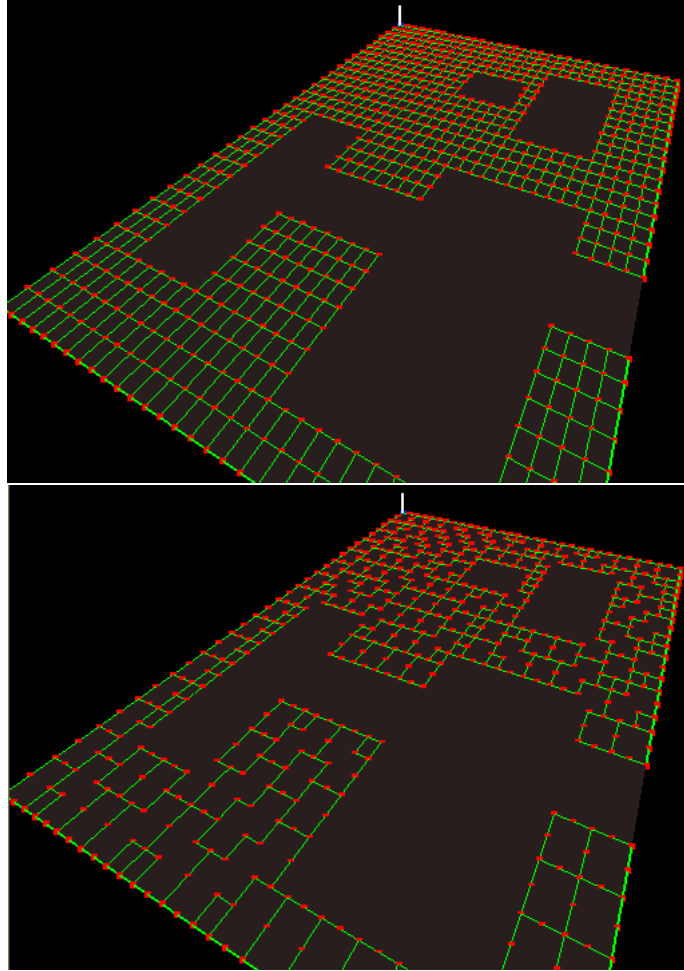


FIGURE 4.3 – Notre graphe après application de l’heuristique, avec les formes masquées, avant et après la procédure de merging

Notre algorithme de déplacement est le suivant :

L’agent se déplacera donc sur le voisin offrant un chemin de poids minimal.

Algorithm 4 Déplacement d'un agent : `parcours(pas)`

Algorithme lancé à partir du sommet courant de l'agent

```
1: if pas = 0 then  
2:   retourner monPoids  
3: else  
4:   for chaque voisin v do  
5:     v.parcours(pas - 1)  
6:   end for  
7:   retourner monPoids + minpoids de mes voisins  
8: end if
```

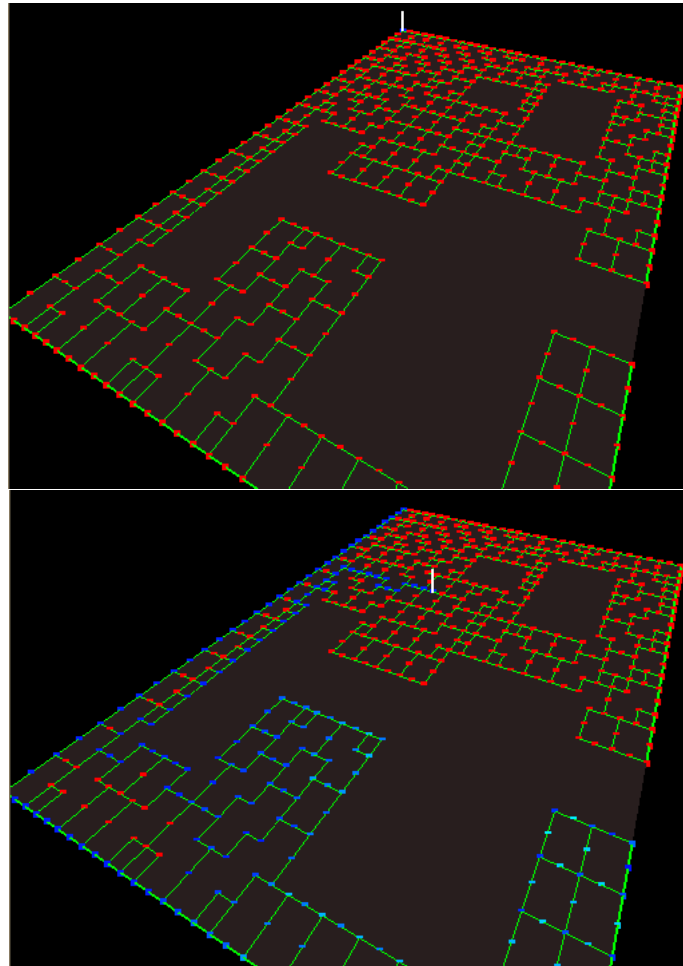


FIGURE 4.4 – Notre graphe après application de l'heuristique, avec les formes masquées, après la procédure de merging, avant l'exploration et pendant l'exploration

Chapitre 5

Bibliographie - Webographie

Moteur 3D

http://en.wikipedia.org/wiki/List_of_game_engines

OpenSceneGraph

- <http://www.openscenegraph.org/projects/osg>
- <http://www.openscenegraph.org/projects/osg>
- <http://cheveche4.developpez.com/tutoriels/openscenegraph/>
- <http://www.openscenegraph.org/projects/osg/wiki/Support/ReferenceGuides>

OpenGL

- <http://www.siteduzero.com/tutoriel-3-5014-creez-des-programmes-en-3d-avec-opengl.html>
- <http://fr.wikipedia.org/wiki/OpenGL>
- <http://www.opengl.org/documentation/>
- http://jeux.developpez.com/faq/opengl/?page=techniques#TECHNIQUES_modele
- OpenGL : Shading Language Second Edition ; Par Randi J. Rost ; Édition Addison-Wesley

Blender

- <http://www.siteduzero.com/tutoriel-3-11714-debutez-dans-la-3d-avec-blender.html>
- <http://www.blender.org/>

Format de fichier 3D

COLLADA

- <http://www.khronos.org/collada/>

WaveFront (.obj)

- [http://fr.wikipedia.org/wiki/Objet_3D_\(format_de_fichier\)](http://fr.wikipedia.org/wiki/Objet_3D_(format_de_fichier))
- <http://local.wasp.uwa.edu.au/~pbourke/dataformats/obj/>

SDL

- http://fr.wikipedia.org/wiki/Simple_DirectMedia_Layer
- <http://www.libsdl.org/>
- <http://www.siteduzero.com/tutoriel-3-14080-installation-de-la-sdl.html>

Ogre

- <http://en.wikipedia.org/wiki/OGRE>

Map Half-Life en .obj

- http://www.siteduzero.com/tutoriel-3-12988-decor-naturel-a-generer-un-terrain.html#ss_part_1 (Gensurf)
- <http://nemesis.thewavelength.net/index.php?p=45> (ObjectViewer)

Heuristique et Bounding Box

- http://softsurfer.com/Archive/algorithm_0107/algorithm_0107.htm (bounding box)
- <http://www.faqs.org/faqs/graphics/algorithms-faq/> (bounding box)
- <http://local.wasp.uwa.edu.au/~pbourke/geometry/insidepoly/> (inside polygone)

Chapitre 6

Conclusion

Bilan technique

Notre projet s'apparentait à un projet de recherche. Une grande partie du travail a donc consisté à explorer le domaine des environnements 3D,

Bilan personnel